

# LANCE

Servicio Clima Espacial

# Reporte Semanal



# Reporte semanal: del 10 al 17 de mayo de 2018

## **CONDICIONES DEL SOL**

Regiones activas:

Total (1); 12709

Hoyos coronales: 2

Se presentan dos hoyos coronales en los polos.

Fulguraciones solares: 0

Eyecciones de masa coronal: Ninguna

## **CONDICIONES DEL MEDIO INTERPLANETARIO**

Se observó una región de compresión generada por la interacción de una corriente de viento solar rápido proveniente del hoyo coronal ecuatorial.

## **CONDICIONES DE MAGNETÓSFERA**

Índice K local: Incremento del índice K el día 12 de mayo (G1). La mayor parte de la semana fluctuó entre 1 y 3.

Índice Dst: Perturbaciones débiles en la componente horizontal entre el 11 y 12 de mayo.

## **CONDICIONES DE LA IONOSFERA**

Se registró un incremento de los valores de TEC el día 11 de mayo y durante la tarde del 15 de mayo hasta la madrugada del 16 de mayo (hora local de México).

# Reporte semanal: del 16 al 22 de marzo de 2018

## PRONÓSTICOS

**Viento solar:** La densidad se mantendrá sin variaciones significativas. No se pronostica la llegada de alguna EMC para los próximos días.

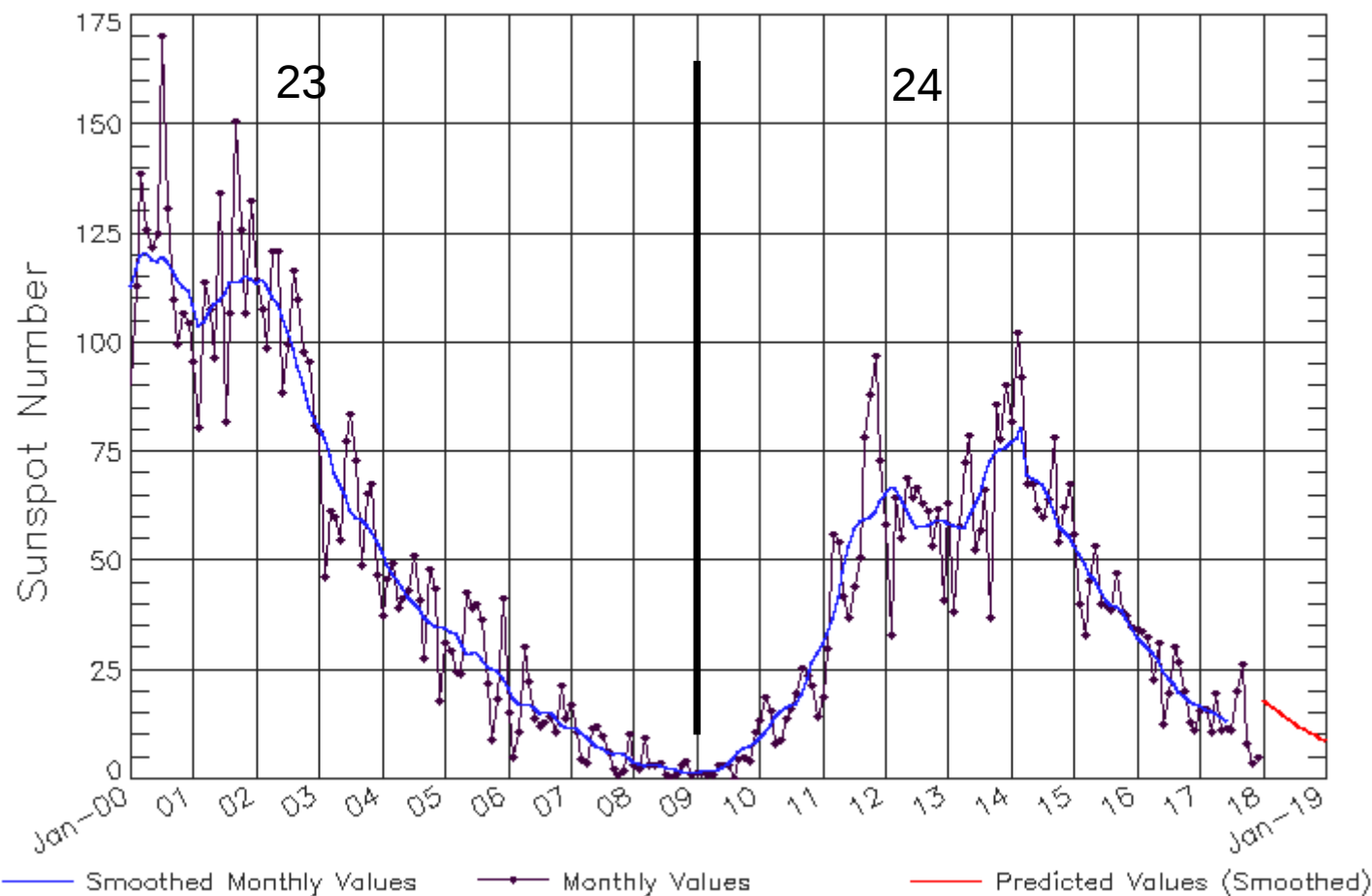
**Fulguraciones solares:** No se esperan fulguraciones de las regiones activas.

**Tormentas geomagnéticas:** Probabilidad de tormenta geomagnética en los próximos días debido a la región de compresión registrada.

**Tormentas de radiación solar:** Baja probabilidad de tormentas.

# Ciclo de manchas solares y la actividad solar

ISES Solar Cycle Sunspot Number Progression  
Observed data through Dec 2017



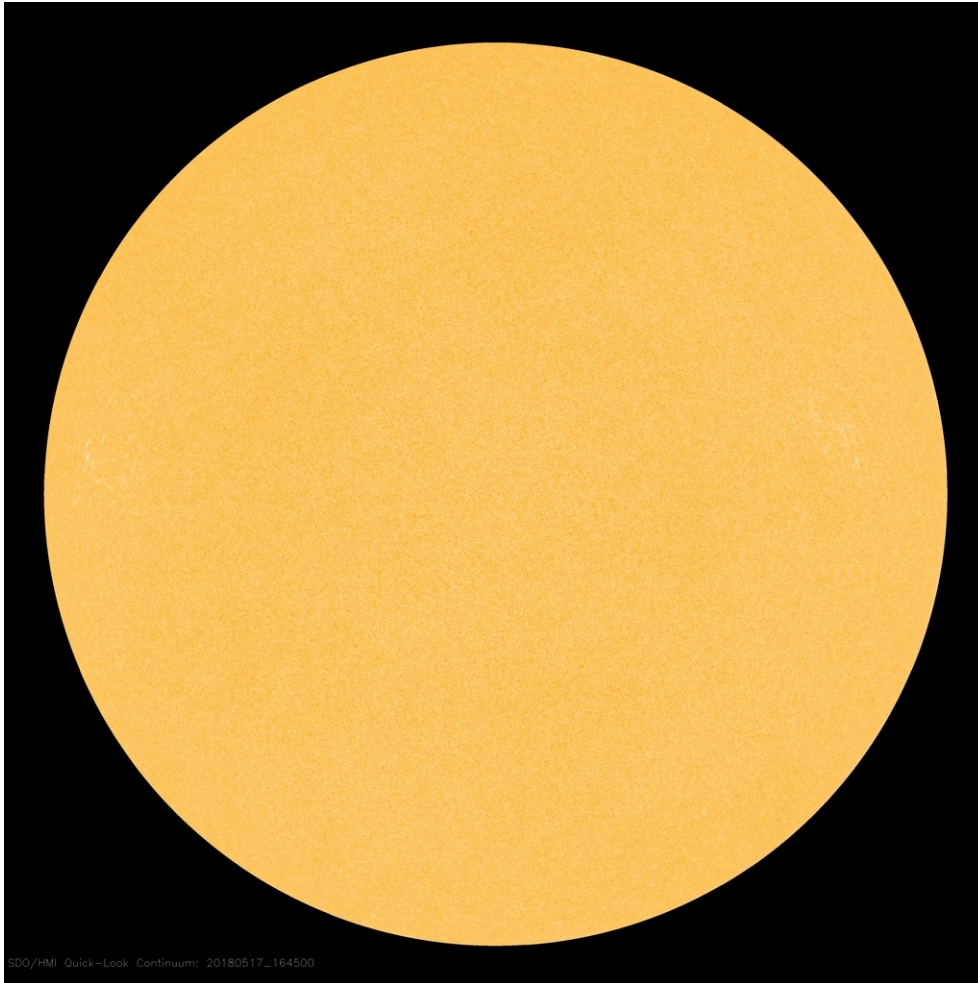
Updated 2018 Jan 8

NOAA/SWPC Boulder, CO USA

La figura muestra el conteo del número de manchas solares desde enero del 2000.

Entre más manchas solares presente el Sol, es mayor la posibilidad de que ocurra una tormenta solar.

Estamos acercándonos al mínimo de manchas solares del ciclo 24.

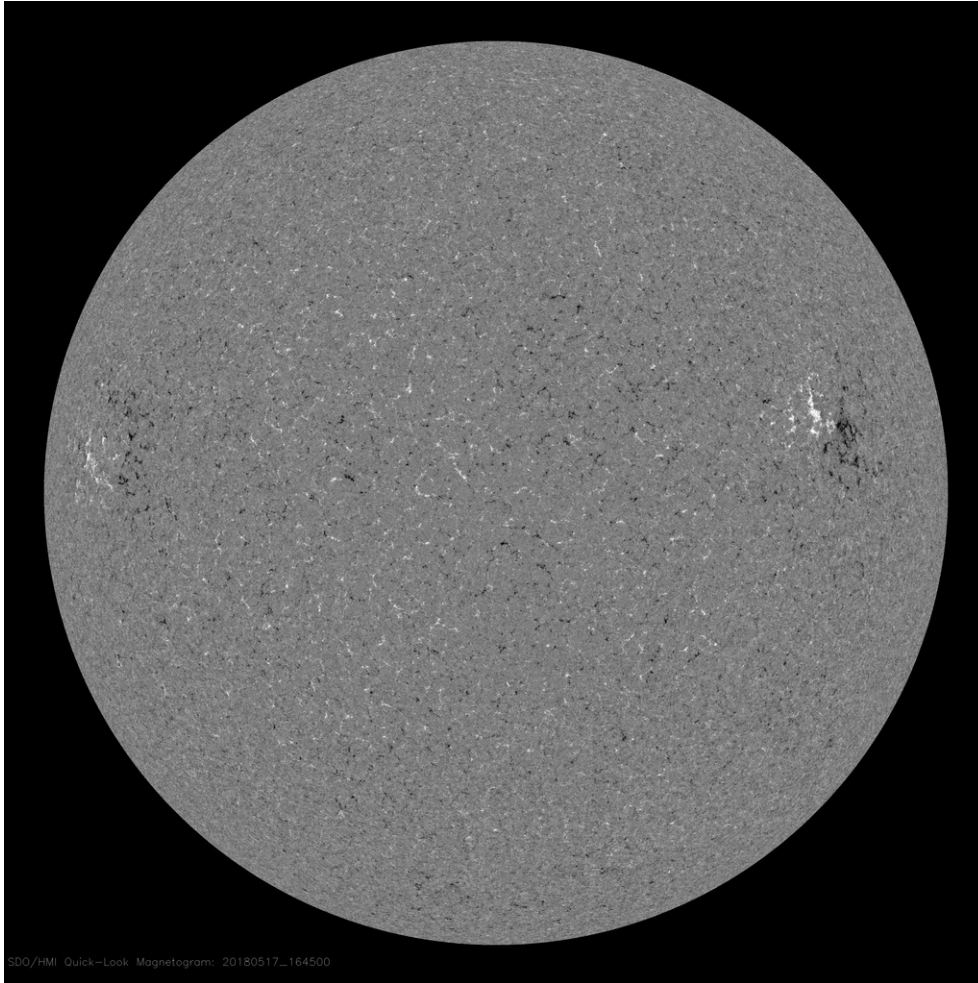


<http://sdo.gsfc.nasa.gov/>

La fotosfera es la zona “superficial” del Sol, donde aparecen las manchas solares. Regiones oscuras formadas por material más frío que sus alrededores y que contienen intensos campos magnéticos. Las manchas solares están relacionadas con la actividad solar.

El Sol hoy:

La imagen de la fotosfera, no muestra ninguna mancha.



Un magnetograma solar permite identificar las regiones de intensos campos magnéticos solares. En general, estos campos magnéticos están asociados a manchas solares.

Las regiones de color blanco (negro) son zonas por donde surgen (sumergen) líneas de campo magnético, correspondientes a polaridad positiva (negativa).

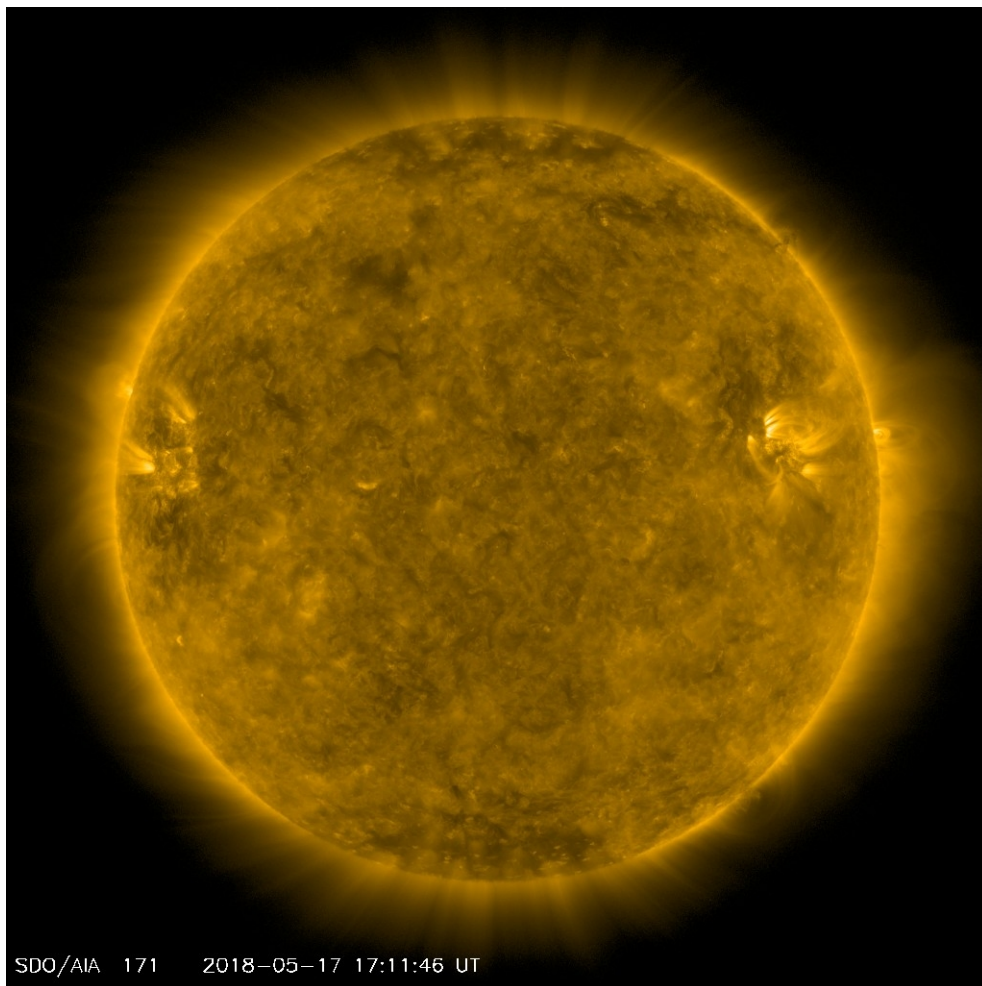
El Sol hoy:

El magnetograma muestra una región con actividad magnética hacia el limbo este, asociada a la región activa 12907.

<http://sdo.gsfc.nasa.gov/>



# Atmósfera solar y regiones activas



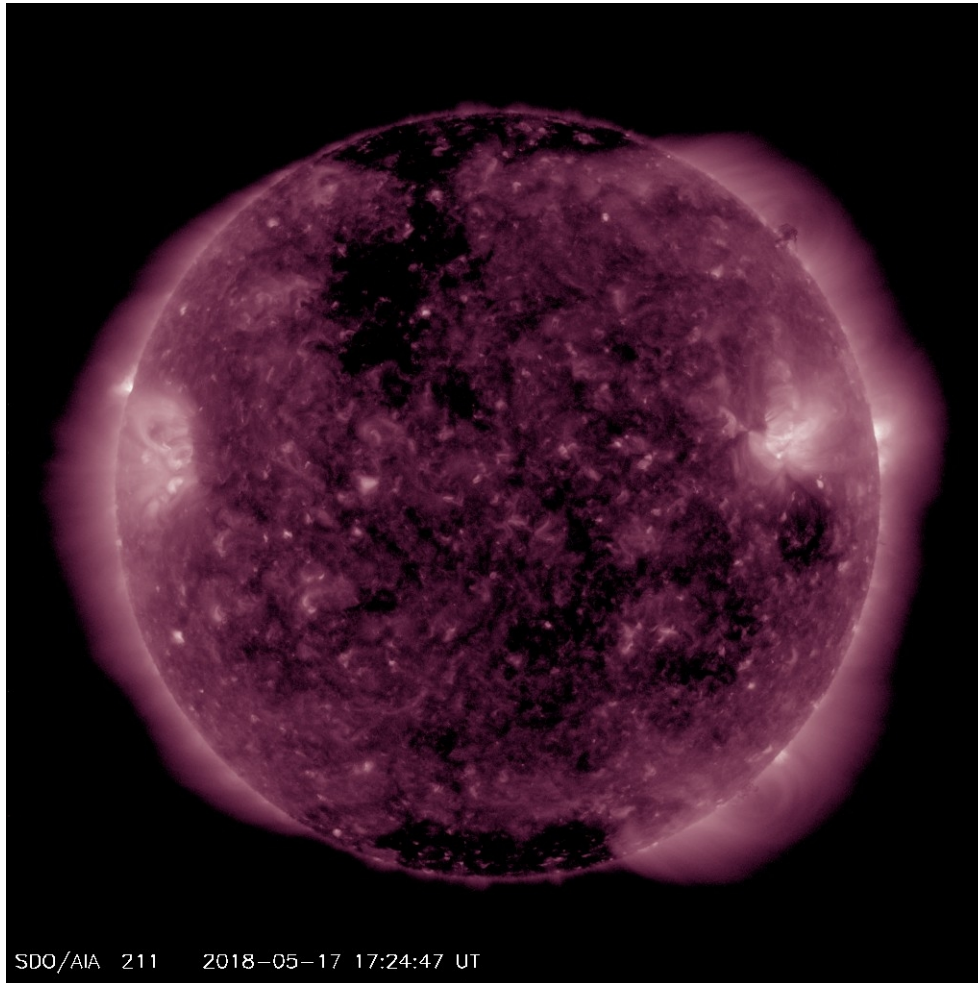
El Sol en rayos X suaves (171 Å). La emisión de Fe IX y X revela la estructura magnética en la región de la atmósfera solar llamada corona solar que se encuentra a 630,000 K.

Las regiones activas (zonas claras) son los lugares donde se presentan los fenómenos de actividad solar más importantes. Las regiones activas están regularmente asociadas a las manchas solares.

El Sol hoy:

Se observan dos zonas brillantes hacia el limbo este y oeste, asociadas con regiones activas.

<http://sdo.gsfc.nasa.gov/>



El Sol en rayos X suaves (211 Å). La emisión de Fe XIV revela la estructura magnética en la alta corona que se encuentra a 2,000,000 K.

Los hoyos coronales (regiones oscuras) son regiones de campo magnético solar localmente abierto. Los hoyos coronales son fuente de las corrientes de viento solar rápido.

El Sol hoy:

Se observan dos hoyos coronales dominantes en los polos, y hoyos coronales menores sobre el disco. El hoyo coronal en el polo norte se extiende hacia bajas latitudes.

<http://sdo.gsfc.nasa.gov/>



# Actividad solar: Fulguraciones solares

Flujo de rayos X solares detectado por los satélites GOES.

Esta semana no hubo actividad solar relevante.

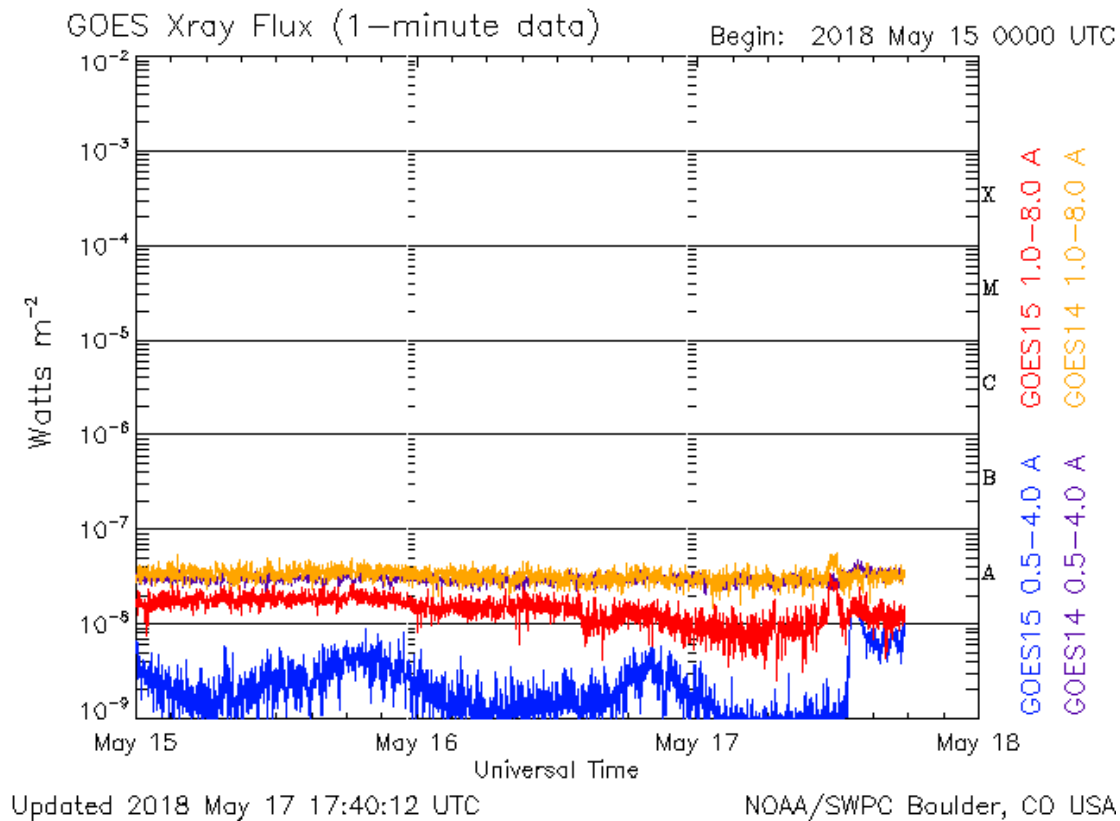


Imagen: <http://services.swpc.noaa.gov/images/goes-xray-flux.gif>

# Medio interplanetario: Región de interacción de viento solar

Esta semana se observó una región de compresión (área sombreada). La velocidad del viento solar rápido es de  $\sim 420$  km/s (pero puede aumentar) y su origen es un hoyo coronal ecuatorial de polaridad negativa. El cruce de la interfase de corriente se indica con la línea vertical amarilla. La región de compresión puede generar una tormenta geomagnética.

Fecha: 2018/05/14  
Hora: 6:54 T.U.

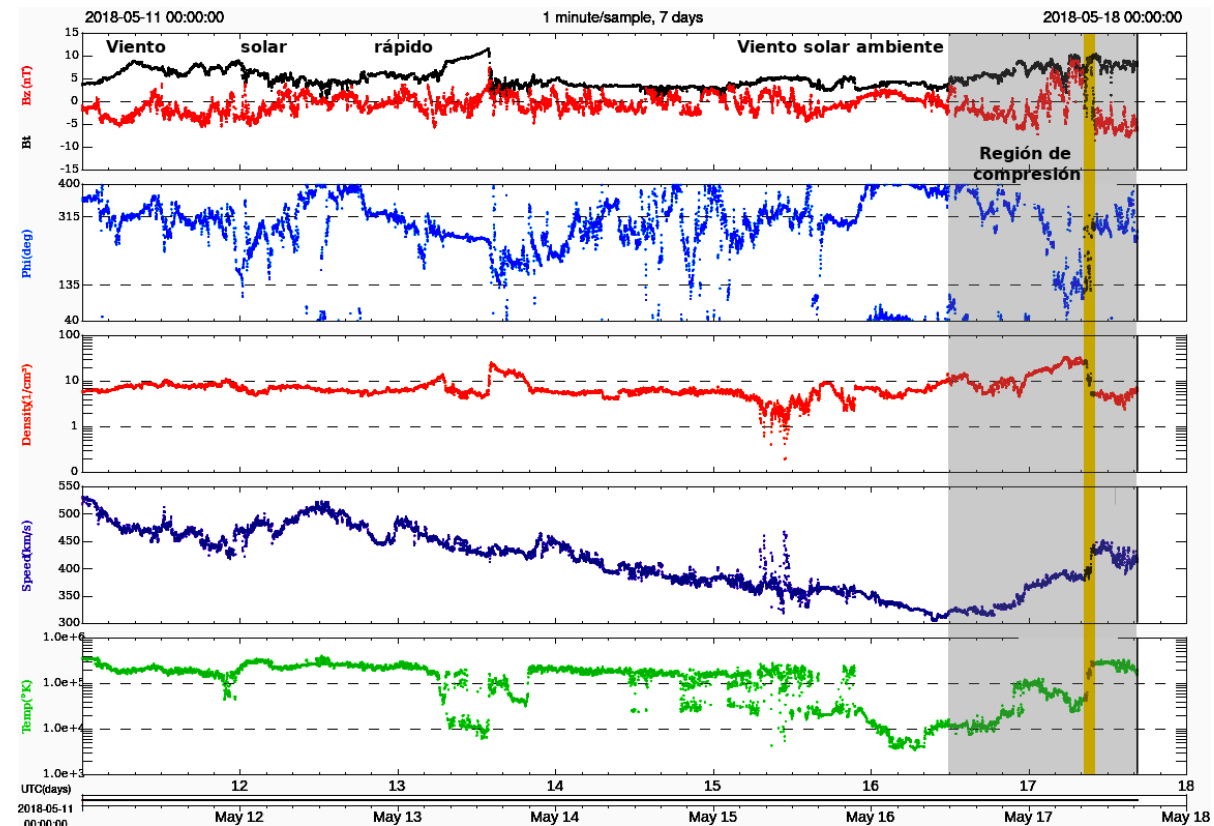
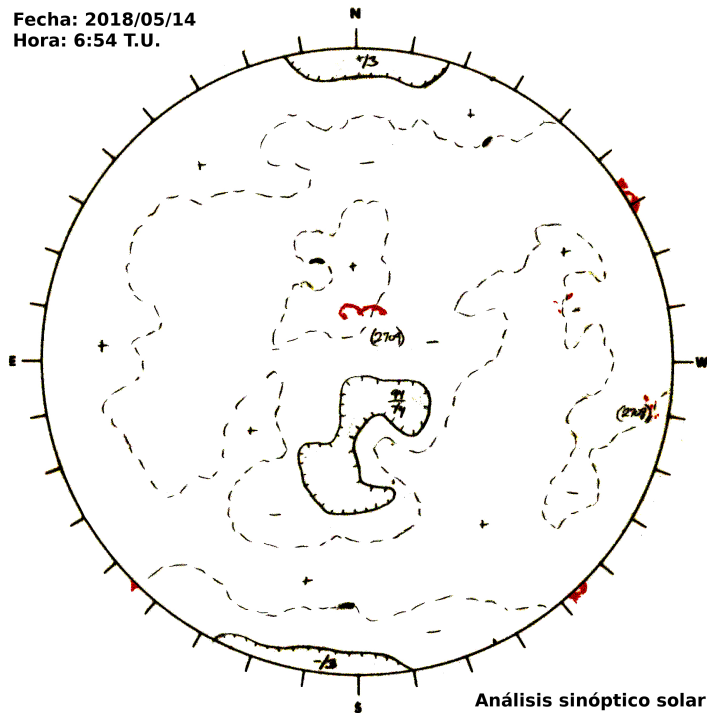


Imagen 1: [ftp://ftp.swpc.noaa.gov/pub/synoptic\\_maps/](ftp://ftp.swpc.noaa.gov/pub/synoptic_maps/)

Imagen 2: <http://www.swpc.noaa.gov/products/real-time-solar-wind>

# Medio interplanetario: El viento solar cercano a la Tierra

## Modelo numérico WSA-ENLIL.

El modelo pronostica un ambiente solar terrestre dominado por corrientes de viento solar lento con velocidades de 400 km/s y algunas corrientes promedio de 450 km/s. La densidad se mantendrá sin variaciones significativas. No pronostica la llegada de alguna EMC para los próximos días.

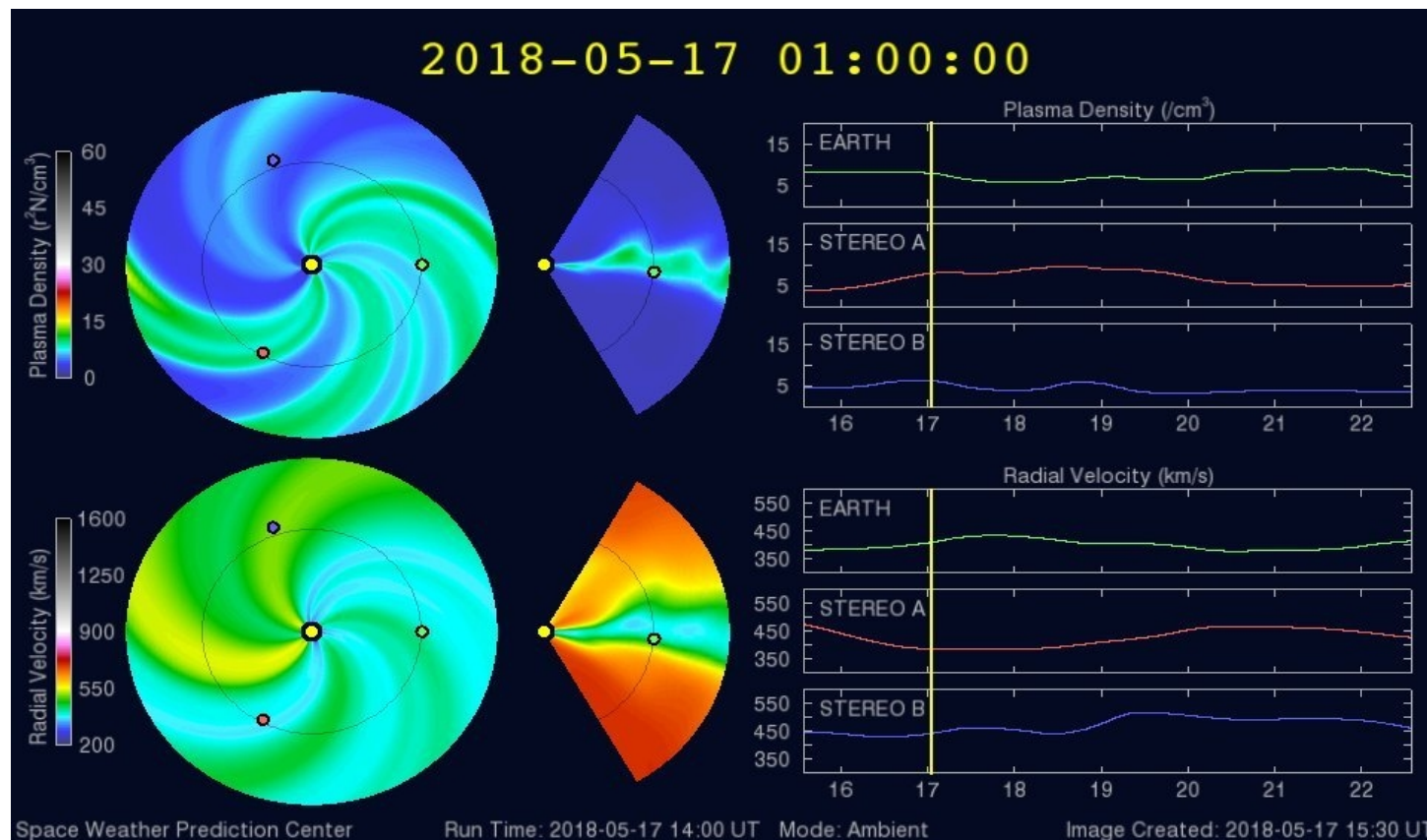


Imagen: <http://www.swpc.noaa.gov/products/wsa-enlil-solar-wind-prediction>

# Medio interplanetario: El viento solar cercano a la Tierra

## Modelo numérico IPS-Driven ENLIL.

En contraste con el modelo WSA-ENLIL, este modelo pronostica corrientes de viento solar rápido con velocidades desde 600 km/s hasta 750 km/s, sin aumentos en la densidad. El viento solar será de temperatura baja y no provocará variaciones en la magnitud del campo magnético. No pronostica que ocurra alguna EMC en los próximos días.

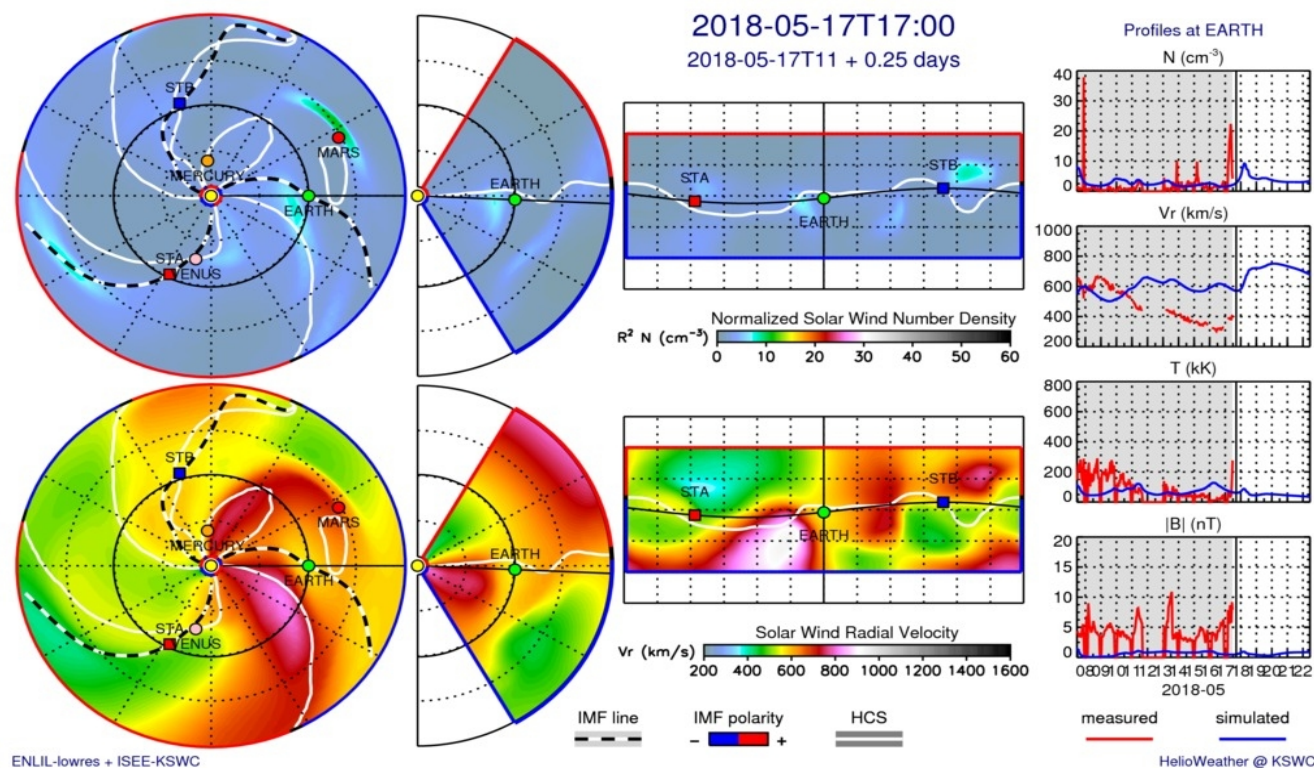
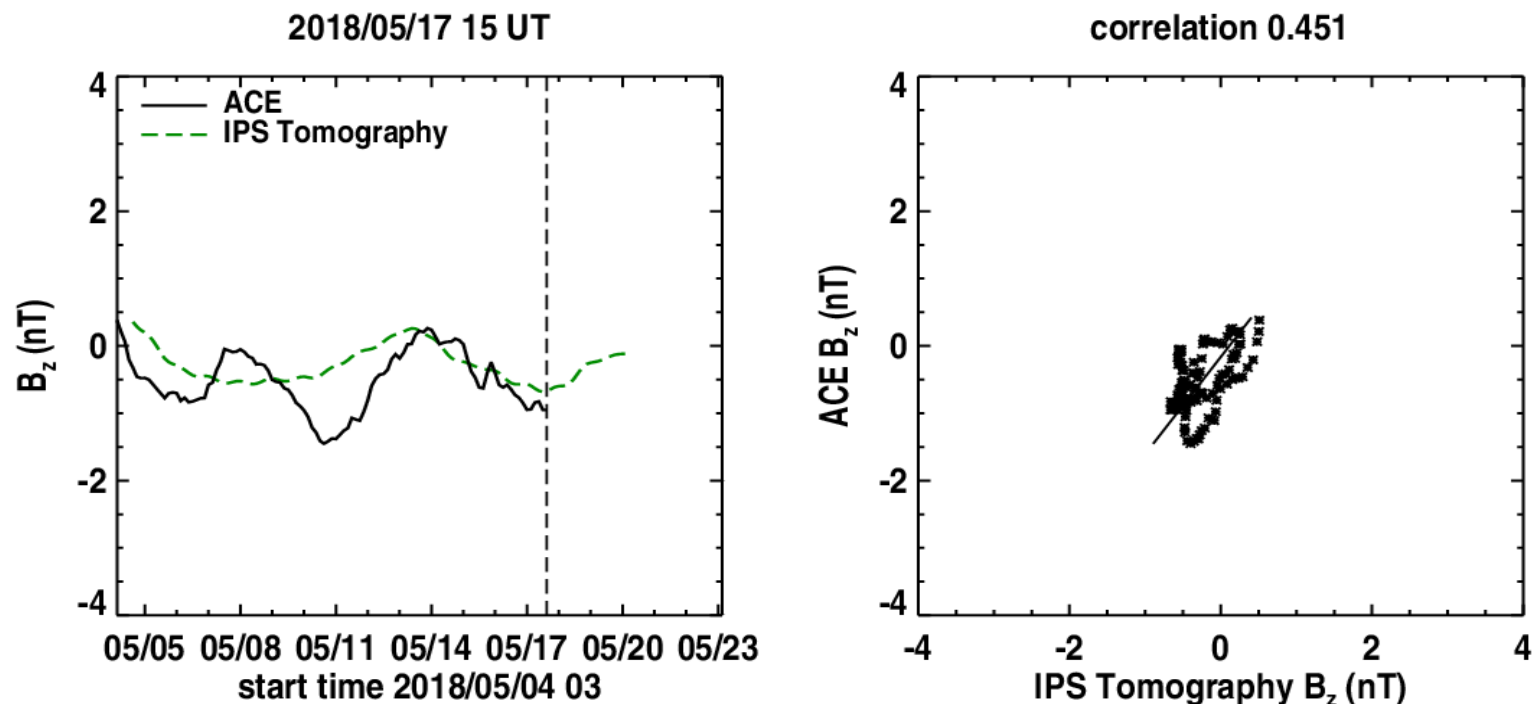


Imagen: <http://spaceweather.rra.go.kr/models/ipsbdenlil>

# Medio interplanetario: Pronóstico de Bz en L1

Pronóstico de la componente Bz del viento solar cercano a la Tierra usando la tomografía con datos IPS.



**(Izquierda)** Se pronostica una componente  $B_z$  con tendencia a cero. **(Derecha)** La comparación con las observaciones del Advanced Composition Explorer (ACE) indican una correlación del 0.451.

Imagen: [http://ips.ucsd.edu/high\\_resolution\\_predictions](http://ips.ucsd.edu/high_resolution_predictions)

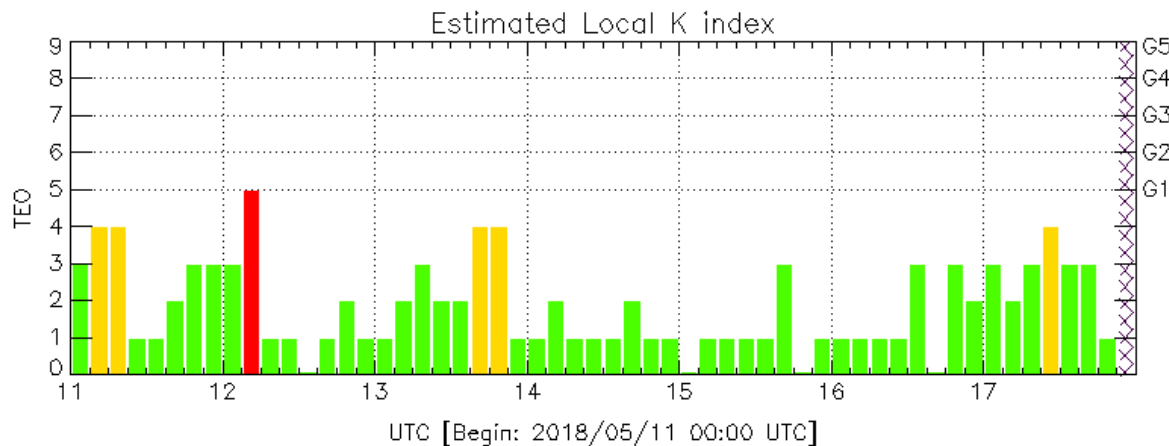


# Perturbaciones geomagnéticas: Índices geomagnéticos Kp y Kmex

Imagen: <http://services.swpc.noaa.gov/images/planetary-k-index.gif>

El índice K indica la intensidad de las variaciones del campo magnético terrestre en intervalos de 3 horas. El índice Kp lo expresa a escala planetaria, mientras que el Kmex lo hace para el territorio mexicano.

Entre el 11 y 12 de mayo se registraron alteraciones geomagnéticas debidas a la llegada al ambiente terrestre de regiones con componente Bz sur de viento solar lento.

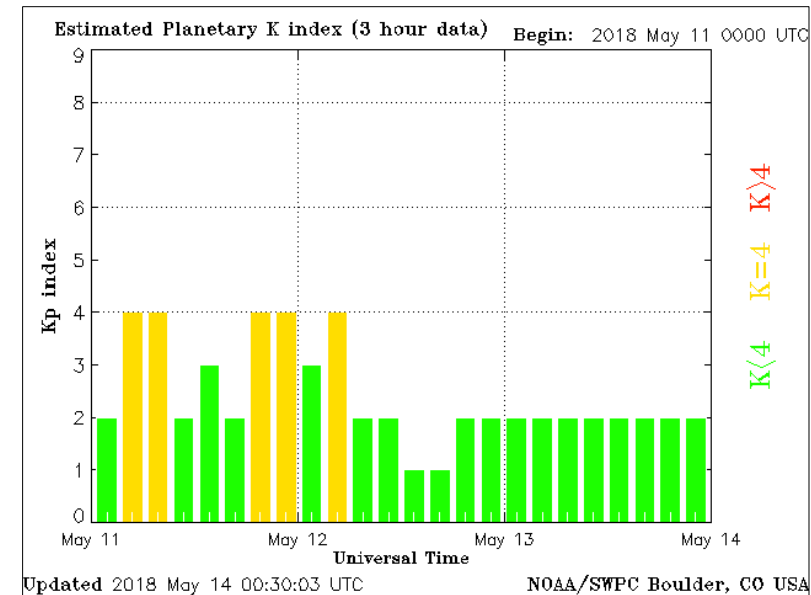


Color Code: ■ quiet, ■ perturbed, ■ storm, XXXX data not available.

TEO: Teoloyucan Geomagnetic Observatory (LAT 19.746, LON -99.193)

LANC/SCIESMEX - Morelia, Mich., MX

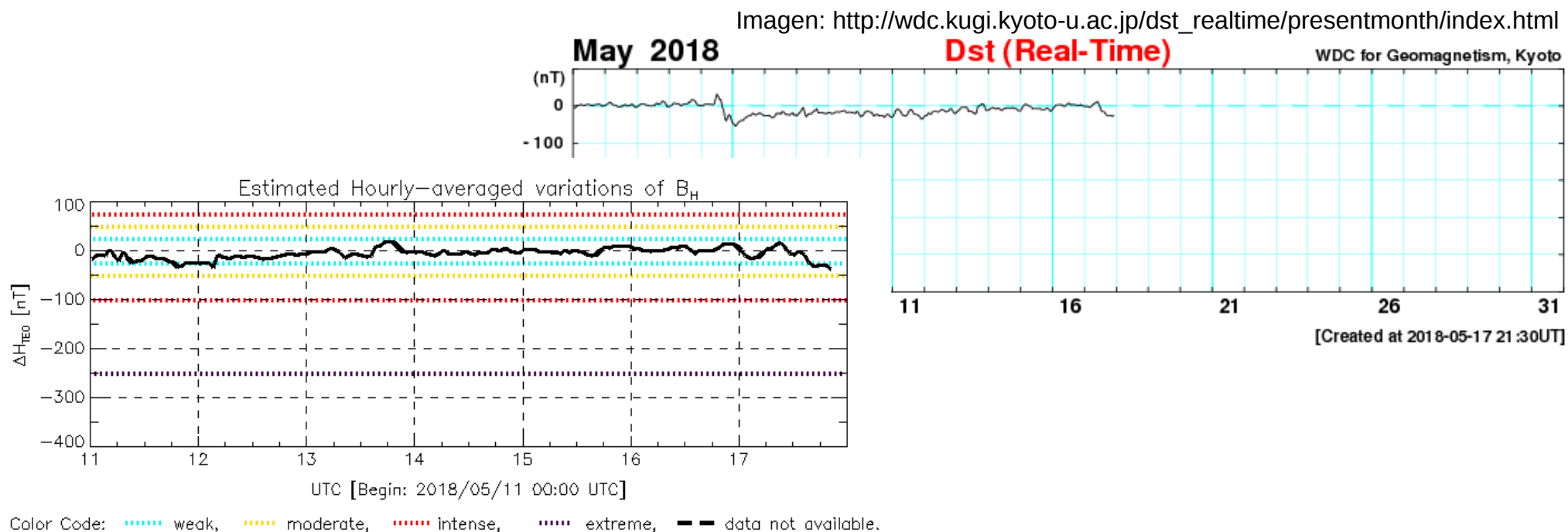
Updated: 2018/05/17-21:00 UTC



# Perturbaciones geomagnéticas: Índice Dst y $\Delta H$

Los índices Dst y  $\Delta H$  miden las variaciones temporales de la componente horizontal del campo geomagnético, el primero a escala planetaria y el segundo para México. Estas variaciones, en general, se deben al ingreso de partículas anómalas al ambiente espacial terrestre.

Se detectaron perturbaciones débiles en la componente horizontal entre el 11 y 12 de mayo. Estas se debieron a la llegada de una corriente de viento solar con campo Bz sur.



TED: Teoloyucan Geomagnetic Observatory (LAT 19.746, LON -99.193)

LANC/SCIESMEX - Morelia, Mich., MX

Updated: 2018/05/17-21:00 UTC

# Ionósfera sobre México: TEC en el centro del país (datos)

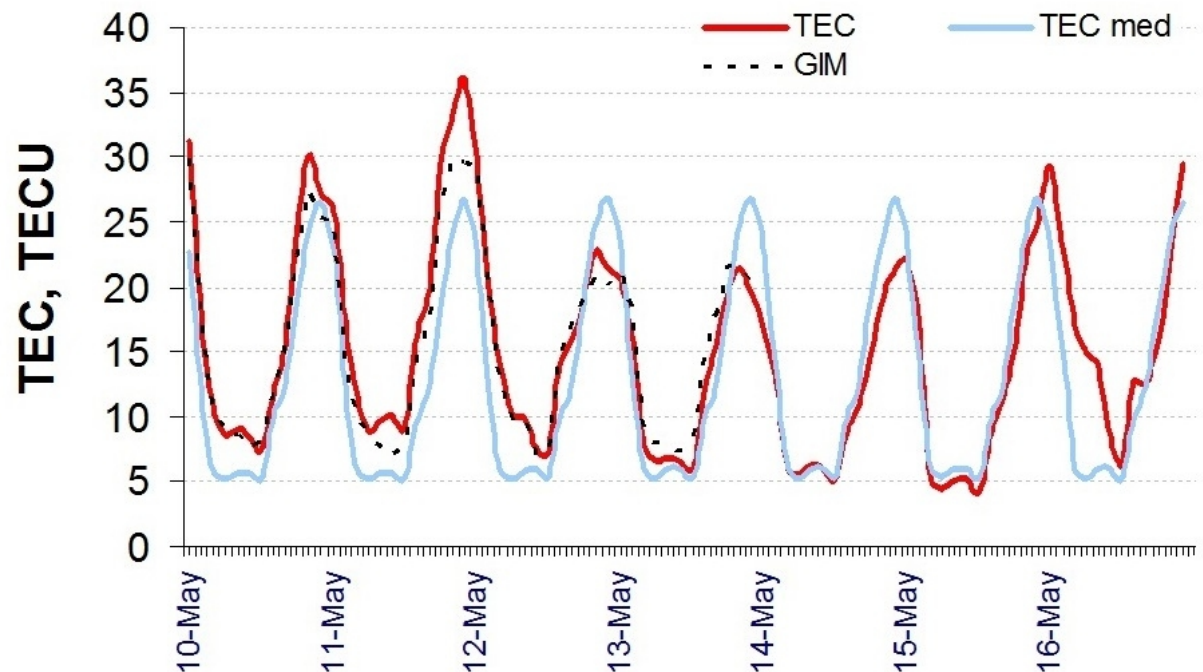
El contenido total de electrones (TEC) es un parámetro que sirve para caracterizar el estado de la ionosfera de la Tierra.

Serie temporal de los valores de TEC (rojo) con referencia a su valor mediano (azul claro) durante 10-16.05.2018 con base en los datos de la estación local UCOE (TLALOCNet, UNAVCO) en las instalaciones del Mexart:

Según los datos locales, esta semana se observaron valores de TEC aumentados el 11 de mayo y desde las 18 del 15 de mayo hasta la madrugada del 16 de mayo (hora local de México).

Datos locales están confirmados con datos globales de GIM (punteado).

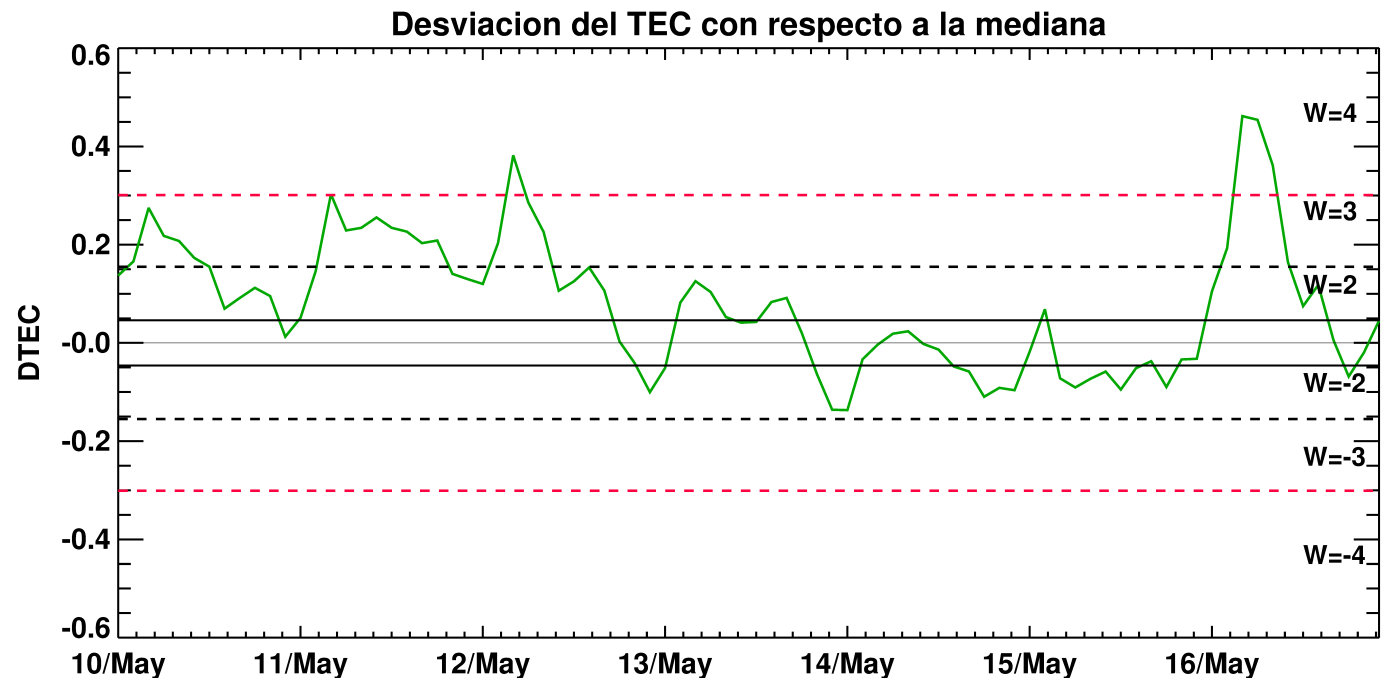
El cálculo se realiza en base de TayAbsTEC software del Instituto de Física Solar-Terrestre, Sección Siberiana de la Academia de Ciencias de Rusia. Referencia: Yasyukevich et al., Influence of GPS/GLONASS Differential Code Biases on the Determination Accuracy of the Absolute Total Electron Content in the Ionosphere, Geomagn. and Aeron., ISSN 0016\_7932, 2015.



# Ionósfera sobre México: DTEC en el centro del país (datos locales):

Desviación del TEC de su mediana (DTEC) de los 27 días previos al día de observación e índice de clima ionosferico W durante 10-17.05.2018 con base en los datos de la estación local UCOE (TLALOCNet, UNAVCO) ubicada en las instalaciones del Mexart :

Esta semana se registraron dos perturbaciones positivas (W=4) los días 12 y 16 de mayo.

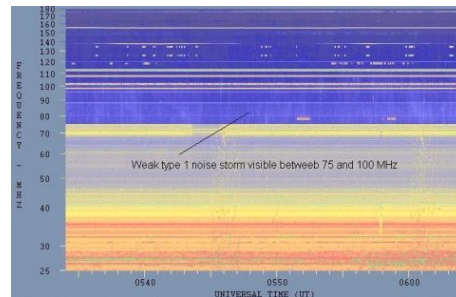


Referencia: Gulyaeva, Arikan, Hernandez-Pajares, Stanislawka. GIM-TEC adaptive ionospheric weather assessment and forecast system. J. Atm. Solar-Terr. Phys., 102, doi:10.1016/j.jastp.2013.06.011, 2013.

# Tipos de estallidos de radio solares

**Tipo I:** Estallidos cortos y banda de emisión estrecha. Ocurren en un gran número sobre un continuo de emisión. Duración de 1 s y en tormenta de horas a días.

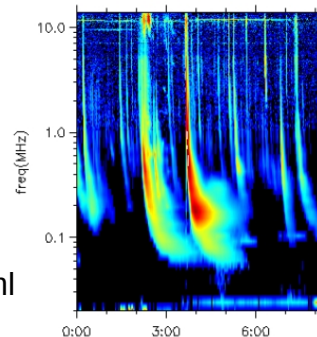
Se asocian con regiones activas, fulguraciones y protuberancias eruptivas



[spaceacademy.net.au/env/sol/solradp/solradp.htm](http://spaceacademy.net.au/env/sol/solradp/solradp.htm)

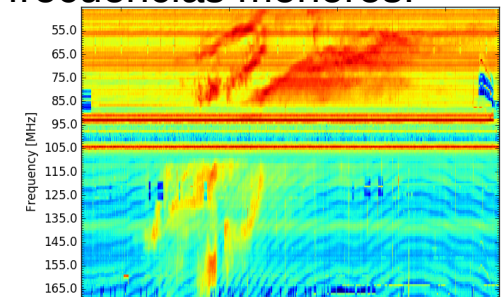
**Tipo III:** Estallidos de deriva rápida, con duración de pocos segundos en el rango métrico. Tienen anchos de emisión amplios. Son producidos en fulguraciones donde son expulsados a velocidades relativistas.

Se pueden presentar también como tormentas de estallidos.



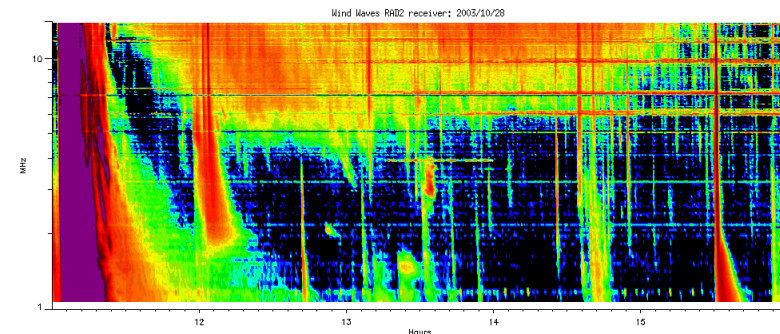
[ssed.gsfc.nasa.gov/waves/data\\_products.html](http://ssed.gsfc.nasa.gov/waves/data_products.html)

**Tipo II:** Estallidos de deriva lenta. Son la firma de ondas de choque, producidas por fulguraciones o EMCs, que se propagan cerca del Sol y medio interplanetario. Presentan anchos de de emisión estrechos que derivan a frecuencias menores.



[www.rice.unam.mx/callisto](http://www.rice.unam.mx/callisto)

**Tipo IV:** Se relacionan con fulguraciones, tienen anchos de banda amplios y pueden durar horas.

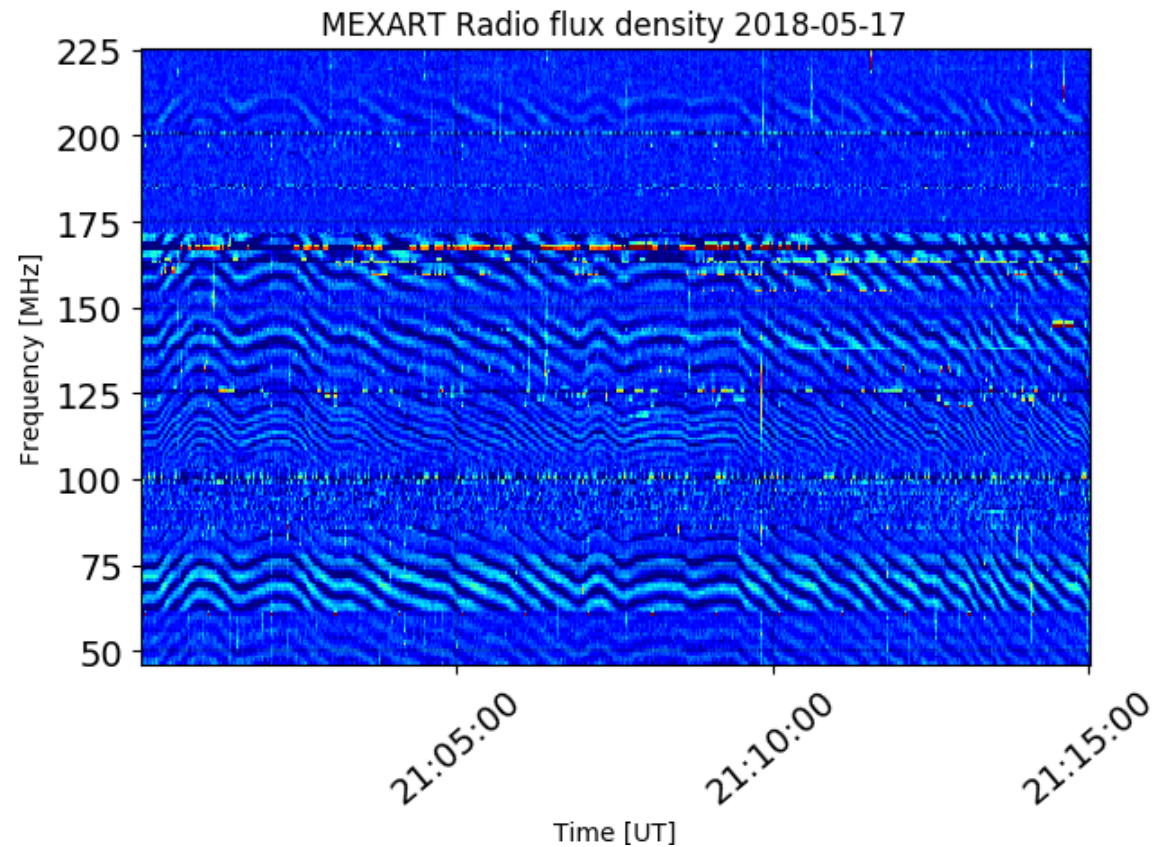


[https://ssed.gsfc.nasa.gov/waves/data\\_products.html](https://ssed.gsfc.nasa.gov/waves/data_products.html)



# Estallidos de radio solares: Observaciones de Callisto-MEXART

Callisto-MEXART no detectó estallidos de radio solares esta semana.



- <http://www.rice.unam.mx/callisto/2018/05/>

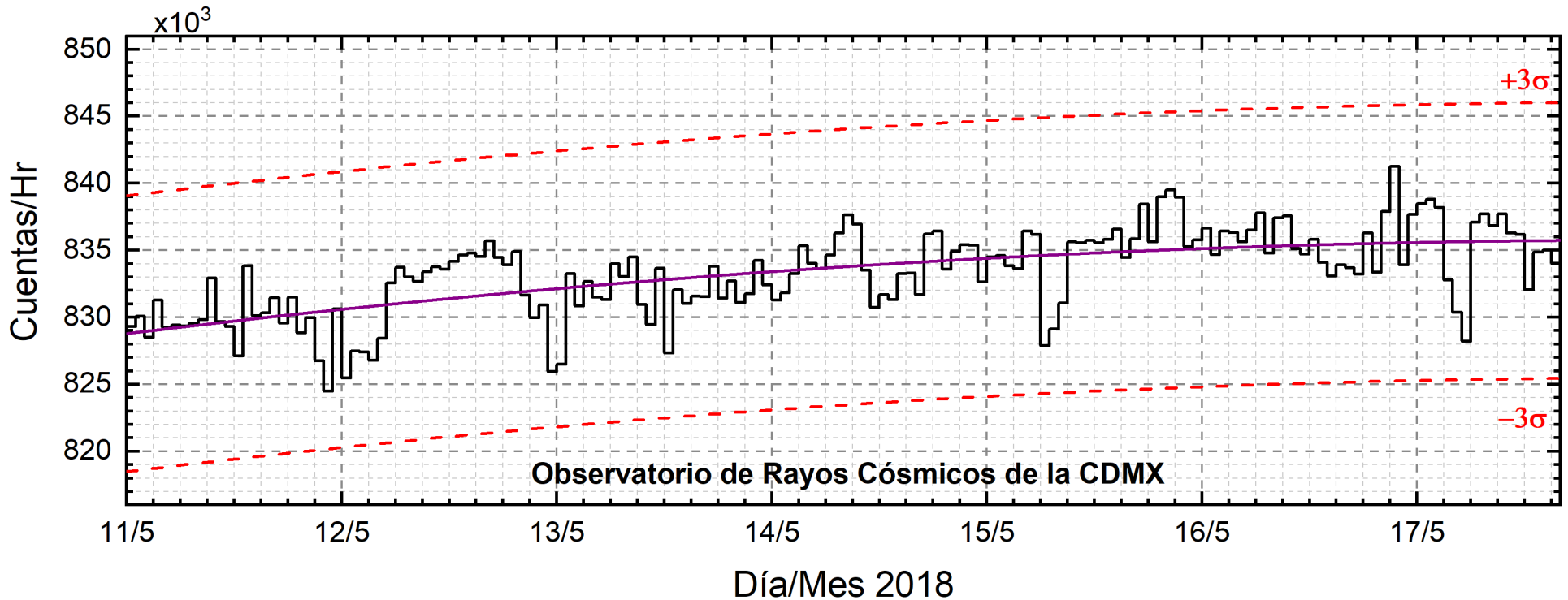
# Mediciones de viento solar con MEXART: Centelleo interplanetario

**No hay observaciones a partir del 13 de abril, por actualización del cableado de la antena.**

[www.mexart.unam.mx](http://www.mexart.unam.mx)

[www.sciesmex.unam.mx](http://www.sciesmex.unam.mx)

# Rayos Cósmicos:



<http://www.cosmicrays.unam.mx/>

Datos del Observatorio de Rayos Cósmicos de la Ciudad de México. La curva púrpura representa el promedio de los datos registrados, las líneas discontinuas rojas representan la significación de los datos ( $3\sigma$ ). Cuando se registran variaciones mayores a  $3\sigma$ , es probable que éstas sean debidas a efectos de emisiones solares en el flujo de rayos cósmicos.

Del 11 al 17 de mayo de 2018, no se detectaron incrementos significativos ( $>3\sigma$ ) en las cuentas de rayos cósmicos galácticos.

## UNAM/LANCE/SCiESMEX

Dr. J. Américo González Esparza

Dr. Víctor De la Luz Rodríguez

Dra. Maria Sergeeva

Dr. Pedro Corona Romero

Dr. Julio C. Mejía Ambriz

Dr. Luis Xavier González Méndez

Dr. Ernesto Aguilar-Rodríguez

Dr. José Juan González-Aviles

Dra. Oyuki Chang

M.C. Elsa Sánchez García

## UANL

Dr. Eduardo Pérez Tijerina

Dra. Esmeralda Romero Hernández

## LANCE

Ing. Ernesto Andrade Mascote

M.C. Pablo Villanueva Hernández

Ing. Pablo Sierra Figueredo

## UNAM ENES-Morelia

Dr. Mario Rodríguez Martínez

## RADIACIÓN SOLAR

Elizandro Huipe

Lic. Francisco Tapia

Carlos Miranda

## RAYOS CÓSMICOS

Dr. José Francisco Valdés Galicia

Fis. Alejandro Hurtado Pizano

Ing. Octavio Musalem Clemente

## SERVICIO MAGNÉTICO

M.C. Esteban Hernández Quintero

M.C. Gerardo Cifuentes Nava

Dra. Ana Caccavari Garza

**Elaboración:** Equipo SCiESMEX

**Revisión:** Ernesto Aguilar Rodríguez

## Agradecimientos

El Laboratorio Nacional de Clima Espacial (LANCE) es parcialmente financiado por: el programa Cátedras CONACYT Proyecto 1045 y el Fondo Sectorial AEM-CONACYT proyecto 2014-01-247722. Agradecemos a todos los responsables y colaboradores de instrumentos del LANCE y a las redes de estaciones GPS del Servicio Sismológico Nacional y TalocNET por facilitar sus datos. Agradecemos a Gerardo Cifuentes, Esteban Hernández y Ana Caccavari por los datos del Observatorio magnético de Teoloyucan. De igual forma, agradecemos los servicios de IGS (International GNSS Service) por permitirnos usar los datos IONEX disponibles en: <ftp://cddis.gsfc.nasa.gov/pub/gps/products/ionex>. Adicionalmente, queremos indicar que los datos RINEX fueron obtenidos de las siguientes redes de receptores GPS: del Servicio Sismológico Nacional (SSN), IGEF-UNAM, SSN-TLALOCNet y TLALOCNet. Agradecemos a su personal, particularmente al personal del SSN y a José A. Santiago por el mantenimiento de estaciones, la adquisición de datos y su distribución. También reconocemos el trabajo de campo, la ingeniería y el soporte de IT para las redes TLALOCNet y SSN-TLALOCNet GPS-Met de Luis Salazar-Tlaczani (Instituto de Geofísica-UNAM), John Galetzka, Adam Woolace y todo el personal de ingeniería de UNAVCO Inc. Agradecemos a UNAVCO ([www.unavco.org](http://www.unavco.org)) por la oportunidad de descargar datos en Internet. Parte de las operaciones de la red TLALOCNet y SSN-TLALOCNet GPS fueron apoyadas por The National Science Foundation bajo el proyecto EAR-1338091 a UNAVCO Inc., proyectos CONACyT 253760 y 256012, proyecto UNAM-PAPIIT IN109315-3 de E. Cabral-Cano y proyecto UNAM-PAPIIT IN111509 de R. Pérez. De igual forma agradecemos al LACIGE-UNAM de la ENES Unidad Morelia por los datos GPS, adquiridos a través del proyecto de infraestructura CONACYT: 253691 de M. Rodríguez-Martínez. El cálculo de TEC se realiza: 1) utilizando el software US-TEC que es un producto de operación del Space Weather Prediction Center (SWPC), desarrollado a través de una colaboración entre National Geodetic Survey, National Oceanic and Atmospheric Administration (NOAA) y el Cooperative Institute for Research in Environmental Sciences of the University of Boulder, Colorado, 2) con base en el software TayAbsTEC del Instituto de Física Solar-Terrestre, Sección Siberiana de la Academia de Ciencias Rusa.



# Créditos

Datos

Imágenes de coronógrafo, flujo de rayos X y modelo WSA-ENLIL:

<http://www.swpc.noaa.gov/products>

<http://iswa.ccmc.gsfc.nasa.gov/IswaSystemWebApp/>

Imágenes de coronógrafo:

<http://sohowww.nascom.nasa.gov/data/>

Imágenes del disco solar y de la fulguración:

<http://www.solarmonitor.org/>

Detección y caracterización de EMCs:

<http://www.sidc.oma.be/cactus/out/latestCMEs.html>

<http://spaceweather.gmu.edu/seeds/>

ISES:

<http://www.spaceweather.org/>

International Network of Solar Radio Spectrometers (e-callisto):

<http://www.e-callisto.org/>

German Research Center For Geociencias Postdam:

<http://www.gfz-potsdam.de/en/sektion/erdmagnetfeld/daten-dienste/kp-index/>

Data Analysis Center for Geomagnetism and Space Magnetism,  
Kyoto University:

<http://wdc.kugi.kyoto-u.ac.jp/index.html>

UNAVCO:

<http://www.unavco.org>

SSN:

<http://www.sismologico.unam.mx/>

SOHO Spacecraft NASA:

<http://sohowww.nascom.nasa.gov/>

SDO Spacecraft NASA:

<http://sdo.gsfc.nasa.gov/>

Space Weather Prediction Center NOAA:

<http://www.swpc.noaa.gov>

GOES Spacecraft NOAA:

<http://www.ngdc.noaa.gov/stp/satellite/goes/index.html>

ACE Spacecraft NOAA

<http://www.srl.caltech.edu/ACE/ASC/index.html>